



ООО «Технополис», 111033, г. Москва,
Таможенный пр-д, д. 6, стр. 3, офис 119
Тел./факс: +7 (495) 362 10 74
Эл. почта: rykov@technopolice-lab.ru
Сайт: www.technopolice-lab.ru

ИНН 7730582273, КПП 772201001,
ОКПО 86396786, ОГРН 1087746576510
Р/с 40702810000000090017
в АО "Банк Интеза", г. Москва,
к/с 3010181080000000922, БИК 044525922

УТВЕРЖДАЮ:
Генеральный директор
ООО «Технополис»



С.Г. РЫКОВ

РАСЧЕТ ОБЛАСТИ ПРИМЕНЕНИЯ

**облицовочных конструкций с использованием фиброцементных
панелей и стальных кляммеров «TORAY» с усилением
самонарезающими винтами**

(по протоколам ИЛ «Технополис» № 002 от 02.01.17, № 003 от 31.01.17,
№ 004 от 02.02.17, № 005 от 02.02.17, № 006 от 03.02.17, № 007 от 03.02.17)

Москва, 2017.



ООО «Технополис», 111033, г. Москва,
Таможенный пр-д, д. 6, стр. 3, офис 119
Тел./факс: +7 (495) 362 10 74
Эл. почта: rykov@technopolice-lab.ru
Сайт: www.technopolice-lab.ru

ИНН 7730582273, КПП 772201001,
ОКПО 86396786, ОГРН 1087746576510
Р/с 40702810000000090017
в АО «Банк Интеза», г. Москва,
к/с 3010181080000000922, БИК 044525922

УТВЕРЖДАЮ:
Генеральный директор
ООО «Технополис»

_____ С.Г. РЫКОВ

РАСЧЕТ ОБЛАСТИ ПРИМЕНЕНИЯ

**облицовочных конструкций с использованием фиброцементных
панелей и стальных кляммеров «TORAY» с усилением
самонарезающими винтами**

(по протоколам ИЛ «Технополис» № 002 от 02.01.17, № 003 от 31.01.17,
№ 004 от 02.02.17, № 005 от 02.02.17, № 006 от 03.02.17, № 007 от 03.02.17)

Москва, 2017.

1. ИСХОДНЫЕ ДАННЫЕ

1.1. Облицовочная конструкция: фиброцементные панели TORAY толщиной 16мм производства ОАО «TORAY ACE», Япония с креплением на кляммерах и на кляммерах с усилением самосверлящими самонарезающими винтами с потайной головкой.

Испытания проводились с целью:

- определения местной прочности панелей в местах, контактирующих с лапками кляммеров и головками самонарезающих винтов (протоколы №003 от 31.01.17, №005 от 02.02.17, №007 от 03.02.17); для испытаний были использованы образцы панелей с габаритными размерами 750×455×16мм;
- определения прочности кляммеров (протокол №004 от 02.02.17); для определения прочности кляммеров использовалась испытательная схема, в которой панели заменялись полиамидными плитами с пазами и гребнями как у оригинальных деталей;
- определения прочности фиброцементных панелей (протокол №002 от 02.02.17); для испытаний были предоставлены образцы панелей с габаритными размерами 650×455×16 мм.

Горизонтальный шаг крепления кляммеров к каркасу испытательной установки в образцах – 0,6 м. Кляммеры крепились к установке с помощью винтов с диаметром головки 8 мм и вытяжными заклепками из коррозионностойкой стали Ø4,0 (по две заклепки на одно место крепления). Диаметр бортика заклепки – 8 мм.

В испытательной схеме «крепление на кляммерах с усилением самонарезающими винтами» самонарезающие винты (по одному винту в месте примыкания плиты к направляющей каркаса) устанавливались посередине плиты.

Усиление крепления плит двумя самонарезающими винтами приводило к разрушению плиты в целом (по телу) даже при уменьшении шага крепления кляммеров до 0,4 м., поэтому проверка прочности усиления крепления двумя винтами проводилась по другой испытательной схеме (№007 от 03.02.17).

Результаты испытаний

Протокол №003 от 31.01.17. (панели TORAY толщиной 16мм с креплением на кляммерах)

Допускаемая нагрузка на образец облицовочной конструкции, закрепленный по схеме на рис.1 Приложения 2, из условий местной прочности панели при креплении на кляммерах:

$$N_{Добр.} = 0,828кН$$

Допускаемая нагрузка на два полностью загруженных кляммера образца (в горизонтальном стыке двух панелей):

$$N_{Д2кл.} = \frac{N_{Добр.}}{2} = \frac{0,828}{2} = 0,414кН$$

Допускаемая нагрузка на один полностью загруженный кляммер образца:

$$N_{Д1кл.} = \frac{N_{Д2кл.}}{2} = \frac{0,414}{2} = 0,207кН$$

Допускаемая ветровая равномерно распределенная по длине вертикальной направляющей нагрузка, соответствующая местной прочности панелей (в местах крепления лапками кляммеров):

$$q_{y1} = \frac{N_{Д1кл.}}{H} = \frac{207,0}{0,455} = 455,0Н / м$$

Где: H – ширина плиты.

Протокол №005 от 02.02.17. (панели TORAY толщиной 16мм с креплением на кляммерах и винтах)

Допускаемая нагрузка на образец облицовочной конструкции, закрепленный по схеме на рис.1 Приложения 2, из условий местной прочности панели при креплении на кляммерах и самонарезающих винтах:

$$N_{Добр.} = 1,754кН$$

Допускаемая нагрузка на одну сторону крепления панели (лапки кляммеров сверху, снизу и один самонарезающий винт посередине):

$$N_{Д1см.} = \frac{N_{Добр.}}{n} = \frac{1754,0}{2} = 877,0кН$$

Где: n – количество сторон крепления образца панели.

Допускаемая ветровая равномерно распределенная по длине вертикальной направляющей нагрузка, соответствующая местной прочности панели (в местах крепления лапками кляммеров и потайной головкой одного винта):

$$q_{y1} = \frac{N_{Д1см.}}{H} = \frac{877,0}{0,455} = 1927,5Н / м$$

Где: H – ширина плиты.

Протокол №007 от 03.02.17. (панели TORAY толщиной 16мм с креплением каждой стороны только на двух винтах)

Допускаемая нагрузка на образец (два самонарезающих винта в панели, закрепленных в соответствии с рис.4 Приложения 1):

$$N_{Добр.} = 0,914кН$$

Допускаемая нагрузка на одну сторону крепления панели (без учета работы лапок кляммеров, на потайные головки двух самонарезающих винтов):

$$N_{Д1ст.} = N_{Добр.} = 0,914кН$$

Допускаемая ветровая равномерно распределенная по длине вертикальной направляющей нагрузка, соответствующая местной прочности панели (в местах крепления потайными головками двух винтов):

$$q_{y1} = \frac{N_{Д1ст.}}{H} = \frac{914,0}{0,455} = 2008,8Н / м$$

Где: H – ширина плиты.

Протокол №004 от 02.02.17. (кляммеры TORAY из тонколистовой стали с антикоррозийным покрытием)

Допускаемая нагрузка на один полностью загруженный кляммер образца (на одну сторону крепления панели):

$$N_{Д1кл.} = N_{Д1ст.} = 0,236кН$$

Допускаемая ветровая равномерно распределенная по длине вертикальной направляющей нагрузка, соответствующая прочности элементов верхнего и нижнего кляммеров, удерживающих плиту на одной стороне крепления (прочности одного кляммера):

$$q_{y1} = \frac{N_{Д1ст.}}{H} = \frac{236,0}{0,455} = 518,7Н / м$$

Где: H – ширина плиты.

Протокол №002 от 31.01.17. (изгибная прочность панелей TORAY толщиной 16мм)

Допускаемое значение изгибающего момента в теле панели (по результатам испытаний):

$$M_{доп.} = 60,2Нм$$

1.2. Облицовочная конструкция: фиброцементные панели TORAY толщиной 12мм производства ОАО «TORAY ACE», Япония с креплением на самосверлящих самонарезающих винтах с потайной головкой.

Испытания проводились с целью:

- определения местной прочности панелей в местах, контактирующих с потайными головками самонарезающих винтов (протоколы №006 от 03.02.17 и №007 от 03.02.17); для испытаний были использованы образцы панелей с габаритными размерами 750×455×12мм;
- определения прочности фиброцементных панелей (протокол №002 от 02.02.17); для испытаний были предоставлены образцы панелей с габаритными размерами 650×455×12 мм.

Усиление крепления плит двумя самонарезающими винтами приводило к разрушению плиты в целом (по телу) даже при уменьшении шага крепления кляммеров до 0,4 м., поэтому проверка прочности усиления крепления двумя винтами проводилась по другой испытательной схеме (№007 от 03.02.17).

Результаты испытаний

Протокол №006 от 03.02.17. (панели TORAY толщиной 12мм с креплением каждой стороны на одном винте)

Допускаемая нагрузка на образец (панель, закрепленная в соответствии с рис.1 Приложения 2):

$$N_{\text{Добр.}} = 0,872 \text{ кН}$$

Допускаемая нагрузка на одну сторону крепления панели (на потайную головку одного самонарезающего винта):

$$N_{\text{Д1ст.}} = \frac{N_{\text{Добр.}}}{n} = \frac{872,0}{2} = 436,0 \text{ кН}$$

Допускаемая ветровая равномерно распределенная по длине вертикальной направляющей нагрузка, соответствующая местной прочности панели (в месте крепления потайной головкой одного винта):

$$q_{\text{y1}} = \frac{N_{\text{Д1ст.}}}{H} = \frac{436,0}{0,455} = 958,2 \text{ Н / м}$$

Где: H – ширина плиты.

Протокол №007 от 03.02.17. (панели TORAY толщиной 12мм с креплением каждой стороны на двух винтах)

Допускаемая нагрузка на образец (два самонарезающих винта в панели, закрепленных в соответствии с рис.4 Приложения 1):

$$N_{Добр.} = 0,662кН$$

Допускаемая нагрузка на одну сторону крепления панели (на потайные головки двух самонарезающих винтов):

$$N_{Д1ст.} = N_{Добр.} = 0,662кН$$

Допускаемая ветровая равномерно распределенная по длине вертикальной направляющей нагрузка, соответствующая местной прочности панели (в местах крепления потайными головками двух винтов):

$$q_{yl} = \frac{N_{Д1ст.}}{H} = \frac{662,0}{0,455} = 1455,0Н / м$$

Где: H – ширина плиты.

Протокол №002 от 31.01.17. (изгибная прочность панелей TORAY толщиной 12мм)

Допускаемое значение изгибающего момента в теле панели (по результатам испытаний):

$$M_{доп.} = 55,9Нм$$

2. ХАРАКТЕРИСТИКИ КАРКАСА ПОДКОНСТРУКЦИИ НФС

Шаг вертикальных направляющих каркаса:

- в рядовой зоне фасада здания – 600 мм.
- в угловой зоне фасада здания – 600 и 300 мм.

3. ПРИМЕР РАСЧЕТА ВЕТРОВЫХ НАГРУЗОК НА ОБЛИЦОВОЧНУЮ КОНСТРУКЦИЮ НАВЕСНОЙ ФАСАДНОЙ СИСТЕМЫ ДЛЯ ПРЯМОУГОЛЬНОГО В ПЛАНЕ ЗДАНИЯ ДЛЯ ЭКВИВАЛЕНТНОЙ ВЫСОТЫ 75м

Расчет производится для рядовой и угловой зон прямоугольного в плане здания для эквивалентной высоты 75м., расположенного в первом ветровом районе (г. Москва), тип местности «В».

Расчет ветровых нагрузок производится для летнего периода.

Нормативное значение пиковой ветровой нагрузки для элементов ограждения и их узлов рассчитывается по формуле 11.10 (1):

$$w_{+(-)} = w_0 \times k(z_e) \times [1 + \zeta(z_l)] \times c_{p,+(-)} \times v_{+(-)}$$

Где:

w_0 - нормативное значение давления ветра, по таблице 11.1 (1);

$k(z_e)$ - коэффициент, учитывающий изменение давления ветра на эквивалентной высоте z_e (Рис.1), по таблице 11.2 (1);

$\zeta(z_e)$ - коэффициент, учитывающий изменение пульсации давления ветра для эквивалентной высоты z_e , по таблице 11.4 (1);

$c_{p,+(-)}$ - пиковые значения аэродинамических коэффициентов положительного давления (+) или отсоса (-); в расчет принимаем значения отрицательного аэродинамического коэффициента $c_{p,-}$ по таблице Д.12, приложения Д.1.17 (1);

$v_{+(-)}$ - коэффициенты корреляции ветровой нагрузки, соответствующие положительному давлению (+) и отсосу (-) по таблице 11.8 (1);

3.1 Нагрузки, действующие на конструкции в летний период, для эквивалентной высоты $Z_e=75$ м

Рядовая зона

Нормативное значение пикового отрицательного воздействия ветровой нагрузки для элементов ограждения и их узлов (отсос):

$$w_y^n = 0,23 \times 1,4 \times (1 + 0,71) \times 1,2 \times 1,0 = 0,661 \text{ кПа}$$

Расчетное значение пикового отрицательного воздействия ветровой нагрузки при коэффициенте надежности по нагрузке:

$$\gamma_f = 1,4$$

$$w_y = w_y^n \times \gamma_f = 661,0 \times 1,4 = 925,4 \text{ Н / м}^2 (94,4 \text{ кгс / м}^2)$$

Угловая зона

Нормативное значение пикового отрицательного воздействия ветровой нагрузки для элементов ограждения и их узлов (отсос):

$$w_y^n = 0,23 \times 1,4 \times (1 + 0,71) \times 2,2 \times 1,0 = 1,211 \text{ кПа}$$

Расчетное значение пикового отрицательного воздействия ветровой нагрузки при коэффициенте надежности по нагрузке:

$$\gamma_f = 1,4$$

$$w_y = w_y^n \times \gamma_f = 1211,0 \times 1,4 = 1695,4 \text{ Н / м}^2 (173,0 \text{ кгс / м}^2)$$

Результаты расчетов для различных значений эквивалентных высот, типов местности и ветровых районов даны в ПРИЛОЖЕНИИ 1.

4. ОБЛАСТЬ ПРИМЕНЕНИЯ ОБЛИЦОВОЧНЫХ ПАНЕЛЕЙ TOREY

Область применения облицовочных панелей TORAY толщиной 16 и 12мм с различными способами крепления к вертикальным направляющим каркаса определялась исходя из:

- прочности панелей в местах, примыкающих к деталям крепления и головкам крепежных изделий;
- прочности деталей крепления (кляммеров TORAY);
- прочности панелей по телу в целом, на основании результатов испытаний прочности панелей на изгиб и последующего расчета панели.

4.1 Определение допускаемой ветровой нагрузки на облицовку панелями TOREY толщиной 16мм из условий прочности элементов облицовочной конструкции

В расчете рассматриваем фиброцементные панели с наименьшим и наибольшим возможными размерами длин:

- крепление панелей 455×1200мм к трем вертикальным направляющим (рис.1);
- крепление панелей 455×3030мм к шести вертикальным направляющим (рис.2).

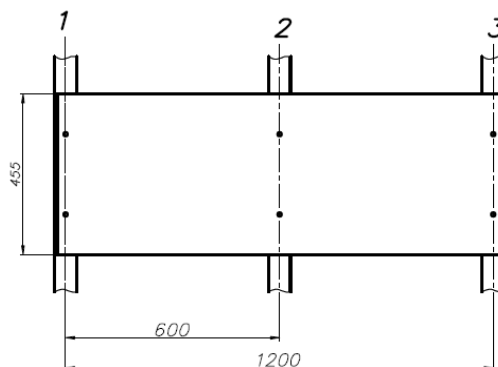


Рис.1 - Крепление панелей 455×1200мм к трем вертикальным направляющим на двух .

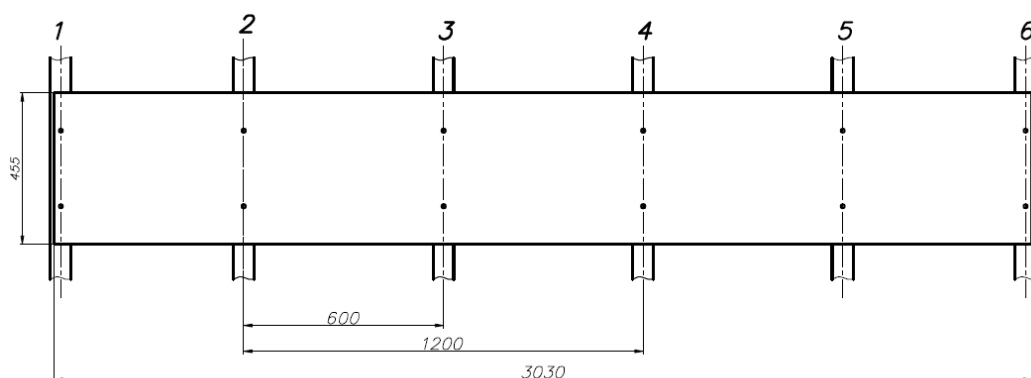


Рис.2 - Крепление панелей 455×3030мм к шести вертикальным направляющим.

Несущая способность из условий местной прочности панелей в месте контакта с лапками кляммеров

Допускаемое значение отрицательного ветрового давления (отсоса) на облицовку панелями 455×1200мм при креплении панелей к направляющим на кляммерах из условий местной прочности панелей в месте контакта с кляммерами (шаг направляющих 600мм):

$$w_y = \frac{q_{y1\max}}{H \times K_{\text{нер}}} = \frac{455,0}{0,6 \times 1,25} = 606,7 \text{ Па} (61,9 \text{ кгс} / \text{м}^2)$$

Где: H - шаг креплений панели к направляющим;

$K_{\text{нер}}$ - коэффициент неразрезности;

$q_{y1\max}$ - наибольшее значение ветровой равномерно распределенной по длине вертикальной направляющей нагрузки на схеме крепления; для схемы на рис.1 – максимальное значение нагрузки на направляющей №2.

Допускаемое значение отрицательного ветрового давления (отсоса) на облицовку панелями 455×3030мм при креплении панелей к направляющим на кляммерах из условий местной прочности панелей в месте контакта с кляммерами (шаг направляющих 600мм):

$$w_y = \frac{q_{y1\max}}{H \times K_{\text{нер}}} = \frac{455,0}{0,6 \times 1,132} = 670,0 \text{ Па} (68,4 \text{ кгс} / \text{м}^2)$$

Где: H - шаг креплений панели к направляющим;

$K_{\text{нер}}$ - коэффициент неразрезности;

$q_{y1\max}$ - наибольшее значение ветровой равномерно распределенной по длине вертикальной направляющей нагрузки на схеме крепления; для схемы на рис.2 максимальное значение нагрузки - на направляющих № 2 и 5.

Несущая способность из условий местной прочности панелей в месте контакта с лапками кляммеров и головкой одного винта

Допускаемое значение отрицательного ветрового давления (отсоса) на облицовку панелями 455×1200мм при креплении панелей к направляющим на кляммерах из условий местной прочности панелей в месте контакта с кляммерами и головкой одного винта (шаг направляющих 600мм):

$$w_y = \frac{q_{y1\max}}{H \times K_{\text{нер}}} = \frac{1927,5}{0,6 \times 1,25} = 2570,0 \text{ Па} (262,2 \text{ кгс} / \text{м}^2)$$

Допускаемое значение отрицательного ветрового давления (отсоса) на облицовку панелями 455×3030мм при креплении панелей к направляющим на кляммерах из условий местной прочности панелей в месте контакта с кляммерами и головкой одного винта (шаг направляющих 600мм):

$$w_y = \frac{q_{y1 \max}}{H \times K_{\text{нер}}} = \frac{1927,5}{0,6 \times 1,132} = 2837,9 \text{ Па} (289,6 \text{ кгс} / \text{м}^2)$$

Несущая способность из условий местной прочности панелей в месте контакта с лапками кляммеров и головками двух винтов

Допускаемое значение отрицательного ветрового давления (отсоса) на облицовку панелями 455×1200мм при креплении панелей к направляющим на кляммерах из условий местной прочности панелей в месте контакта с кляммерами и головками двух винтов (шаг направляющих 600мм):

$$w_y = \frac{q_{y1 \max}}{H \times K_{\text{нер}}} = \frac{2008,8}{0,6 \times 1,25} = 2678,4 \text{ Па} (273,3 \text{ кгс} / \text{м}^2)$$

Допускаемое значение отрицательного ветрового давления (отсоса) на облицовку панелями 455×1200мм при креплении панелей к направляющим на кляммерах из условий местной прочности панелей в месте контакта с кляммерами и головками двух винтов (шаг направляющих 300мм):

$$w_y = \frac{q_{y1 \max}}{H \times K_{\text{нер}}} = \frac{2008,8}{0,3 \times 1,25} = 5356,8 \text{ Па} (546,6 \text{ кгс} / \text{м}^2)$$

Допускаемое значение отрицательного ветрового давления (отсоса) на облицовку панелями 455×3030мм при креплении панелей к направляющим на кляммерах из условий местной прочности панелей в месте контакта с кляммерами и головками двух винтов (шаг направляющих 600мм):

$$w_y = \frac{q_{y1 \max}}{H \times K_{\text{нер}}} = \frac{2008,8}{0,6 \times 1,132} = 2957,6 \text{ Па} (301,8 \text{ кгс} / \text{м}^2)$$

Допускаемое значение отрицательного ветрового давления (отсоса) на облицовку панелями 455×3030мм при креплении панелей к направляющим на кляммерах из условий местной прочности панелей в месте контакта с кляммерами и головками двух винтов (шаг направляющих 300мм):

$$w_y = \frac{q_{y1 \max}}{H \times K_{\text{нер}}} = \frac{2008,8}{0,3 \times 1,132} = 5915,2 \text{ Па} (603,6 \text{ кгс} / \text{м}^2)$$

Несущая способность из условий прочности кляммеров

Допускаемое значение отрицательного ветрового давления (отсоса) на облицовку панелями 455×1200мм при креплении панелей к направляющим на кляммерах из условий прочности кляммеров (шаг направляющих 600мм):

$$w_y = \frac{q_{y1 \max}}{H \times K_{\text{нер}}} = \frac{518,7}{0,6 \times 1,25} = 691,6 \text{ Па} (70,6 \text{ кгс} / \text{м}^2)$$

Допускаемое значение отрицательного ветрового давления (отсоса) на облицовку панелями 455×3030мм при креплении панелей к направляющим на кляммерах из условий прочности кляммеров (шаг направляющих 600мм):

$$w_y = \frac{q_{y1 \max}}{H \times K_{\text{нер}}} = \frac{518,7}{0,6 \times 1,132} = 763,7 \text{ Па} (78,0 \text{ кгс} / \text{м}^2)$$

Несущая способность из условий прочности панелей в целом по телу

Наибольшее значение изгибающего момента от ветровой нагрузки в поперечном сечении панели возникают при её длине 1200 мм при креплении к трем вертикальным направляющим каркаса (Рис.3.)

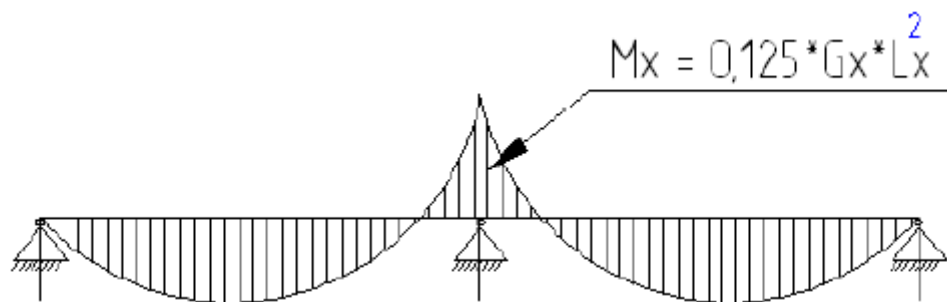


Рис.3.

Допускаемое значение отрицательного ветрового давления (отсоса) на облицовку панелями 455×1200мм из условий прочности панелей (шаг направляющих 600мм):

$$W_y = \frac{M}{K \times b \times H^2} = \frac{60,2}{0,125 \times 0,455 \times 0,6^2} = 2940,2 \text{ Па} (300,0 \text{ кгс} / \text{м}^2)$$

Где: b – ширина панели;

H - шаг креплений панели к направляющим.

Допускаемое значение отрицательного ветрового давления (отсоса) на облицовку панелями 455×1200мм из условий прочности панелей (шаг направляющих 300мм):

$$W_y = \frac{M}{K \times b \times H^2} = \frac{60,2}{0,125 \times 0,455 \times 0,3^2} = 11760,7 \text{ Па} (1200,0 \text{ кгс} / \text{м}^2)$$

4.2 Определение допускаемой ветровой нагрузки на облицовку панелями TOREY толщиной 12мм из условий прочности элементов облицовочной конструкции

В расчете рассматриваем фиброцементные панели с наименьшим и наибольшим возможными размерами длин:

- крепление панелей 455×1200мм к трем вертикальным направляющим (рис.1);
- крепление панелей 455×3030мм к шести вертикальным направляющим (рис.2).

Несущая способность из условий местной прочности панелей в месте контакта с головкой одного винта

Допускаемое значение отрицательного ветрового давления (отсоса) на облицовку панелями 455×1200мм при креплении панелей к направляющим на винтах из условий местной прочности панелей в месте контакта с головкой одного винта (шаг направляющих 600мм):

$$w_y = \frac{q_{y1 \max}}{H \times K_{\text{нер}}} = \frac{958,2}{0,6 \times 1,25} = 1277,6 \text{ Па} (130,4 \text{ кгс} / \text{м}^2)$$

Допускаемое значение отрицательного ветрового давления (отсоса) на облицовку панелями 455×3030мм при креплении панелей к направляющим на винтах из условий местной прочности панелей в месте контакта с головкой одного винта (шаг направляющих 600мм):

$$w_y = \frac{q_{y1 \max}}{H \times K_{\text{нер}}} = \frac{958,2}{0,6 \times 1,132} = 1410,8 \text{ Па} (144,0 \text{ кгс} / \text{м}^2)$$

Несущая способность из условий местной прочности панелей в месте контакта с головками двух винтов

Допускаемое значение отрицательного ветрового давления (отсоса) на облицовку панелями 455×1200мм при креплении панелей к направляющим на винтах из условий местной прочности панелей в месте контакта с головками двух винтов (шаг направляющих 600мм):

$$w_y = \frac{q_{y1 \max}}{H \times K_{\text{нер}}} = \frac{1455,0}{0,6 \times 1,25} = 1940,0 \text{ Па} (198,0 \text{ кгс} / \text{м}^2)$$

Допускаемое значение отрицательного ветрового давления (отсоса) на облицовку панелями 455×3030мм при креплении панелей к направляющим на

винтах из условий местной прочности панелей в месте контакта с головками двух винтов (шаг направляющих 600мм):

$$w_y = \frac{q_{y1 \max}}{H \times K_{\text{неp}}} = \frac{1455,0}{0,6 \times 1,132} = 2142,2 \text{ Па} (218,6 \text{ кгс} / \text{м}^2)$$

Несущая способность из условий прочности панелей в целом по телу

Допускаемое значение отрицательного ветрового давления (отсоса) на облицовку панелями 455×1200мм из условий прочности панелей (шаг направляющих 600мм):

$$W_y = \frac{M}{K \times b \times H^2} = \frac{55,9}{0,125 \times 0,455 \times 0,6^2} = 2730,2 \text{ Па} (278,6 \text{ кгс} / \text{м}^2)$$

Где: b – ширина панели;

H - шаг креплений панели к направляющим.

4.3 Область применения облицовочных панелей TOREY толщиной 16мм

Используя данные, приведенные в ПРИЛОЖЕНИИ 1 и значения допускаемой ветровой нагрузки из п. 4.1, находим области применения облицовочных конструкций в эквивалентных высотах для всех ветровых районов типа местности «В».

Определение эквивалентной высоты - по СП 20.13330.2011 «НАГРУЗКИ И ВОЗДЕЙСТВИЯ», актуализированная редакция, разъяснение дано в ПРИЛОЖЕНИИ 2.

Назначение типа местности - по СП 20.13330.2011 «НАГРУЗКИ И ВОЗДЕЙСТВИЯ», актуализированная редакция, дано в ПРИЛОЖЕНИИ 3.

Область применения облицовочных фиброцементных панелей TOREY с креплением на кляммерах в I-VII ветровых районах, тип местности «В» в эквивалентных высотах (м) дана в табл.1.

Таблица 1

Ветровой район		I	II	III	IV	V	VI	VII	По прочности панели в месте контакта с кляммером $W_y = 61,9-68,4$ кгс/м ²
Рядовая зона фасада	Шаг направляющих каркаса: 600 мм	25	10	<5	-	-	-	-	
Угловая зона фасада	Шаг направляющих каркаса: 600 мм	<5	-	-	-	-	-	-	

Область применения облицовочных фиброцементных панелей TOREY с креплением на кляммерах и одном винте в I-VII ветровых районах, тип местности «В» в эквивалентных высотах (м) дана в табл.2.

Таблица 2

Ветровой район		I	II	III	IV	V	VI	VII	По прочности панели в месте контакта с кляммером и 1 винтом $W_y = 262,2-289,6$ кгс/м ²
Рядовая зона фасада	Шаг направляющих каркаса: 600 мм	75	75	75	75	75	65	40	
Угловая зона фасада	Шаг направляющих каркаса: 600 мм	75	75	75	35	15	5	-	

Область применения облицовочных фиброцементных панелей TOREY с креплением на кляммерах и двух винтах в I-VII ветровых районах, тип местности «В» в эквивалентных высотах (м) дана в табл.3.

Таблица 3

Ветровой район		I	II	III	IV	V	VI	VII	По прочности панели в месте контакта с кляммером и 2 винтами $W_y = 273,3-301,8$ кгс/м ²
Рядовая зона фасада	Шаг направляющих каркаса: 600 мм	75	75	75	75	75	75	45	
Угловая зона фасада	Шаг направляющих каркаса: 600 мм	75	75	75	40	20	10	5	

Область применения облицовочных фиброцементных панелей TOREY с креплением на кляммерах и двух винтах, с уменьшением шага направляющих в угловой зоне, в I-VII ветровых районах, тип местности «В» в эквивалентных высотах (м) дана в табл.4.

Таблица 4

Ветровой район		I	II	III	IV	V	VI	VII	По прочности панели в месте контакта с кляммером и 2 винтами	
Рядовая зона фасада	Шаг направляющих каркаса: 600 мм	75	75	75	75	75	75	45		$W_y = 273,3-301,8$ кгс/м ²
Угловая зона фасада	Шаг направляющих каркаса: 300 мм	75	75	75	75	75	75	45		$W_y = 546,6-603,6$ кгс/м ²

Область применения облицовочных фиброцементных панелей TOREY с креплением по прочности панели в целом по телу в I-VII ветровых районах, тип местности «В» в эквивалентных высотах (м) дана в табл.5.

Таблица 5

Ветровой район		I	II	III	IV	V	VI	VII	По прочности панели в целом, по телу $W_y = 300,0$ кгс/м ²
Рядовая зона фасада	Шаг направляющих каркаса: 600 мм	75	75	75	75	75	75	45	
Угловая зона фасада	Шаг направляющих каркаса: 600 мм	75	75	75	40	<20	<10	5	

Область применения облицовочных фиброцементных панелей TOREY с креплением по прочности панели в целом по телу, с уменьшением шага направляющих в угловой зоне, в I-VII ветровых районах, тип местности «В» в эквивалентных высотах (м) дана в табл.6.

Таблица 6

Ветровой район		I	II	III	IV	V	VI	VII	По прочности панели в целом, по телу
Рядовая зона фасада	Шаг направляющих каркаса: 600 мм	75	75	75	75	75	75	45	$W_y = 300,0$ кгс/м ²
Угловая зона фасада	Шаг направляющих каркаса: 300 мм	75	75	75	75	75	75	75	$W_y = 1200,0$ кгс/м ²

4.4 Область применения облицовочных панелей TOREY толщиной 12мм

Область применения облицовочных фиброцементных панелей TOREY с креплением на одном винте в I-VII ветровых районах, тип местности «В» в эквивалентных высотах (м) дана в табл.7.

Таблица 7

Ветровой район		I	II	III	IV	V	VI	VII	По прочности панели в месте контакта с 1 винтом $W_y = 130,4-144,0$ кгс/м ²
Рядовая зона фасада	Шаг направляющих каркаса: 600 мм	75	75	55	25	10	5	-	
Угловая зона фасада	Шаг направляющих каркаса: 600 мм	40	15	5	-	-	-	-	

Область применения облицовочных фиброцементных панелей TOREY с креплением на двух винтах в I-VII ветровых районах, тип местности «В» в эквивалентных высотах (м) дана в табл.8.

Таблица 8

Ветровой район		I	II	III	IV	V	VI	VII	По прочности панели в месте контакта с 2 винтами $W_y = 198,0-218,6$ кгс/м ²
Рядовая зона фасада	Шаг направляющих каркаса: 600 мм	75	75	75	75	50	25	15	
Угловая зона фасада	Шаг направляющих каркаса: 600 мм	75	65	30	10	5	-	-	

Область применения облицовочных фиброцементных панелей TOREY с креплением по прочности панели в целом по телу в I-VII ветровых районах, тип местности «В» в эквивалентных высотах (м) дана в табл.9.

Таблица 9

Ветровой район		I	II	III	IV	V	VI	VII	По прочности панели в целом, по телу $W_y = 278,6$ кгс/м ²
Рядовая зона фасада	Шаг направляющих каркаса: 600 мм	75	75	75	75	75	60	35	
Угловая зона фасада	Шаг направляющих каркаса: 600 мм	75	75	70	30	15	5	-	

Расчетная ветровая нагрузка, кгс/м

Высота, м	Ветровые районы, тип местности А																				
	I			II			III			IV			V			VI			VII		
	W_m^+	W_m^-	угол	W_m^+	W_m^-	угол	W_m^+	W_m^-	угол	W_m^+	W_m^-	угол	W_m^+	W_m^-	угол	W_m^+	W_m^-	угол	W_m^+	W_m^-	угол
5	53,6	53,6	98,3	69,9	69,9	128	88,6	88,6	162	112	112	205	140	140	256	170	170	312	198	198	363
10	68,0	68,0	125	88,7	88,7	162	112	112	206	142	142	260	177	177	325	216	216	396	251	251	461
15	75,0	75,0	137	97,8	97,8	179	124	124	227	156	156	287	196	196	359	238	238	436	277	277	508
20	81,6	81,6	145	106	106	195	135	135	247	170	170	312	213	213	390	259	259	475	302	302	553
25	84,7	84,7	155	110	110	202	140	140	256	177	177	324	221	221	405	269	269	493	313	313	574
30	88,2	88,2	162	115	115	210	146	146	267	184	184	337	230	230	422	280	280	513	326	326	598
35	91,1	91,1	167	119	119	218	150	150	276	190	190	348	238	238	436	289	289	530	337	337	617
40	93,9	93,9	172	122	122	224	155	155	284	196	196	359	245	245	449	298	298	546	347	347	636
45	96,4	96,4	177	126	126	231	159	159	292	201	201	369	251	251	461	306	306	561	356	356	653
50	98,9	98,9	181	129	129	236	163	163	300	206	206	378	258	258	473	314	314	576	366	366	670
55	101	101	186	132	132	242	167	167	307	212	212	388	264	264	484	322	322	590	375	375	687
60	104	104	190	135	135	248	171	171	314	217	217	397	271	271	496	329	329	604	384	384	703
65	106	106	194	138	138	253	175	175	320	221	221	405	276	276	506	336	336	615	391	391	716
70	108	108	197	140	140	258	178	178	326	225	225	412	281	281	515	342	342	627	398	398	730
75	110	110	201	143	143	262	181	181	332	229	229	419	286	286	524	348	348	638	405	405	743
80	111	111	204	145	145	267	184	184	338	233	233	427	291	291	533	354	354	649	412	412	756
85	113	113	208	148	148	271	187	187	343	237	237	434	296	296	542	360	360	660	419	419	768
90	115	115	211	150	150	276	190	190	349	241	241	441	301	301	551	366	366	671	426	426	781
95	117	117	215	153	153	280	194	194	355	245	245	448	306	306	560	372	372	682	433	433	794
100	119	119	218	155	155	285	197	197	360	248	248	455	311	311	569	378	378	693	440	440	806
110	121	121	223	158	158	291	201	201	368	254	254	465	317	317	581	386	386	707	449	449	823
120	124	124	227	162	162	297	205	205	376	259	259	474	323	323	593	394	394	722	458	458	840
130	126	126	232	165	165	302	209	209	383	264	264	484	330	330	605	401	401	736	467	467	856
140	129	129	236	168	168	308	213	213	390	269	269	493	336	336	616	409	409	750	476	476	873
150	131	131	241	171	171	314	217	217	398	274	274	502	343	343	628	417	417	764	485	485	889

Расчетная ветровая нагрузка, кгс/м

Высота, м	Ветровые районы, тип местности В																				
	I			II			III			IV			V			VI			VII		
	W_m^+	W_m^-	угол	W_m^+	W_m^-	угол	W_m^+	W_m^-	угол	W_m^+	W_m^-	угол	W_m^+	W_m^-	угол	W_m^+	W_m^-	угол	W_m^+	W_m^-	угол
5	42,9	42,9	-78,6	55,9	55,9	-103	70,9	70,9	-130	89,5	89,5	-164	112	112	-205	136	136	-250	159	159	-291
10	51,7	51,7	-94,9	67,5	67,5	-124	85,5	85,5	-157	108	108	-198	135	135	-247	164	164	-301	191	191	-351
15	57,7	57,7	-106	75,2	75,2	-138	95,3	95,3	-175	120	120	-221	150	150	-276	183	183	-336	213	213	-391
20	63,1	63,1	-116	82,3	82,3	-151	104	104	-191	132	132	-241	165	165	-302	200	200	-367	233	233	-427
25	66,6	66,6	-122	86,9	86,9	-159	110	110	-202	139	139	-255	174	174	-319	212	212	-388	246	246	-452
30	70,1	70,1	-128	91,4	91,4	-168	116	116	-212	146	146	-268	183	183	-335	222	222	-408	259	259	-475
35	73,4	73,4	-134	95,7	95,7	-175	121	121	-222	153	153	-281	191	191	-351	233	233	-427	271	271	-497
40	76,5	76,5	-140	99,8	99,8	-183	126	126	-232	160	160	-293	200	200	-366	243	243	-445	283	283	-518
45	79,3	79,3	-145	103	103	-190	131	131	-240	166	166	-303	207	207	-379	252	252	-462	293	293	-537
50	82,1	82,1	-150	107	107	-196	136	136	-249	171	171	-314	214	214	-393	260	260	-478	303	303	-556
55	84,8	84,8	-155	111	111	-203	140	140	-257	177	177	-324	221	221	-405	269	269	-493	313	313	-574
60	87,4	87,4	-160	114	114	-209	144	144	-265	182	182	-334	228	228	-418	277	277	-509	323	323	-592
65	89,4	89,4	-164	117	117	-214	148	148	-271	187	187	-342	233	233	-428	284	284	-520	330	330	-606
70	91,4	91,4	-168	119	119	-219	151	151	-277	191	191	-350	238	238	-437	290	290	-532	338	338	-619
75	93,3	93,3	-171	122	122	-223	154	154	-283	195	195	-357	243	243	-446	296	296	-543	345	345	-632
80	95,2	95,2	-175	124	124	-228	157	157	-289	199	199	-364	248	248	-456	302	302	-554	352	352	-645
85	97,3	97,3	-178	127	127	-233	161	161	-295	203	203	-372	254	254	-465	309	309	-566	360	360	-659
90	99,3	99,3	-182	130	130	-237	164	164	-301	207	207	-380	259	259	-475	315	315	-578	367	367	-673
95	101	101	-186	132	132	-242	167	167	-307	211	211	-388	264	264	-484	321	321	-589	374	374	-686
100	103	103	-189	135	135	-247	171	171	-313	215	215	-395	269	269	-494	328	328	-601	382	382	-700
110	106	106	-195	139	139	-255	176	176	-323	222	222	-407	278	278	-509	338	338	-620	393	393	-721
120	110	110	-201	143	143	-262	181	181	-332	229	229	-420	286	286	-524	348	348	-638	405	405	-743
130	113	113	-207	147	147	-270	186	186	-342	235	235	-432	294	294	-539	358	358	-656	417	417	-764
140	116	116	-212	151	151	-277	191	191	-351	242	242	-443	302	302	-554	368	368	-674	428	428	-785
150	119	119	-218	155	155	-284	196	196	-360	248	248	-455	310	310	-569	377	377	-692	440	440	-806

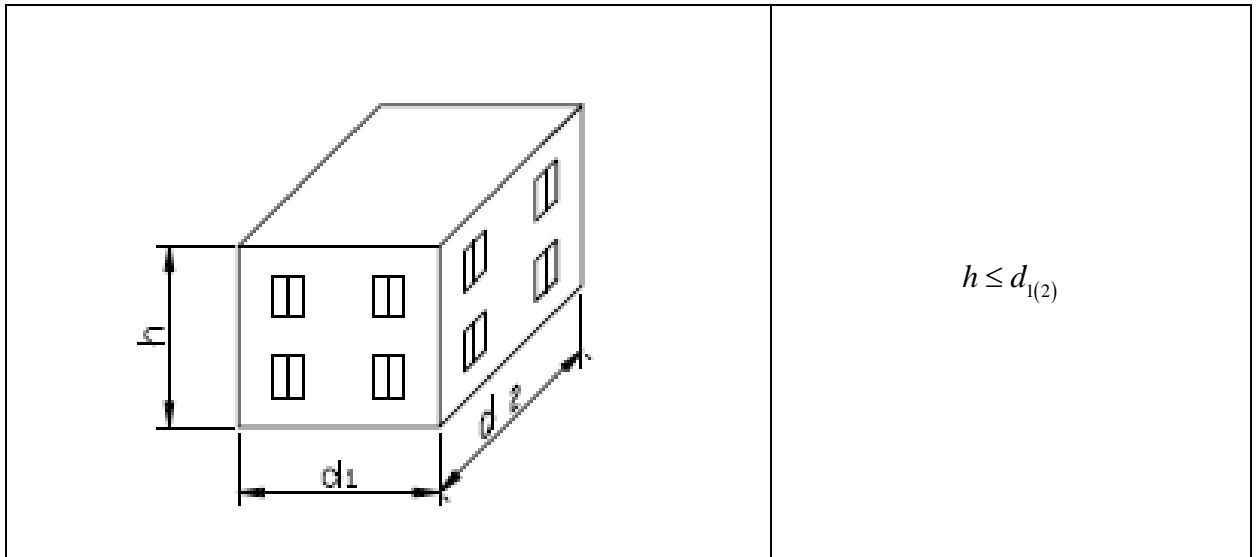
Расчетная ветровая нагрузка, кгс/м

Высота, м	Ветровые районы, тип местности С																									
	I		II				III				IV				V				VI				VII			
	W_m^+	W_m^-	W_m^+	W_m^-	W_m^+	W_m^-	W_m^+	W_m^-	W_m^+	W_m^-	W_m^+	W_m^-	W_m^+	W_m^-	W_m^+	W_m^-	W_m^+	W_m^-	W_m^+	W_m^-						
	центр	угол	центр	угол	центр	угол	центр	угол	центр	угол	центр	угол	центр	угол	центр	угол	центр	угол	центр	угол						
5	43,0	43,0	-78,8	56,0	56,0	-103	71,0	71,0	-130	89,7	89,7	-164	112	112	-205	136	136	-250	159	159	-291					
10	43,0	43,0	-78,8	56,0	56,0	-103	71,0	71,0	-130	89,7	89,7	-164	112	112	-205	136	136	-250	159	159	-291					
15	48,5	48,5	-88,8	63,2	63,2	-116	80,1	80,1	-147	101	101	-185	126	126	-232	154	154	-282	179	179	-328					
20	53,1	53,1	-97,4	69,3	69,3	-127	87,8	87,8	-161	111	111	-203	139	139	-254	169	169	-309	196	196	-360					
25	57,7	57,7	-106	75,3	75,3	-138	95,4	95,4	-175	121	121	-221	151	151	-276	183	183	-336	213	213	-391					
30	62,1	62,1	-114	81,0	81,0	-148	103	103	-188	130	130	-238	162	162	-297	197	197	-361	229	229	-421					
35	66,1	66,1	-121	86,2	86,2	-158	109	109	-200	138	138	-253	172	172	-316	210	210	-385	244	244	-448					
40	69,9	69,9	-128	91,1	91,1	-167	115	115	-212	146	146	-267	182	182	-334	222	222	-407	258	258	-473					
45	73,2	73,2	-134	95,5	95,5	-175	121	121	-222	153	153	-280	191	191	-350	232	232	-426	271	271	-496					
50	76,5	76,5	-140	99,8	99,8	-183	126	126	-232	160	160	-293	200	200	-366	243	243	-445	283	283	-518					
55	79,7	79,7	-146	104	104	-190	132	132	-241	166	166	-305	208	208	-381	253	253	-464	294	294	-540					
60	82,7	82,7	-152	108	108	-198	137	137	-250	173	173	-316	216	216	-395	262	262	-481	306	306	-560					
65	85,0	85,0	-156	111	111	-203	140	140	-257	177	177	-325	222	222	-406	270	270	-495	314	314	-576					
70	87,2	87,2	-160	114	114	-209	144	144	-264	182	182	-334	228	228	-417	277	277	-508	322	322	-591					
75	89,4	89,4	-164	117	117	-214	148	148	-271	187	187	-342	233	233	-428	284	284	-520	330	330	-606					
80	91,5	91,5	-168	119	119	-219	151	151	-277	191	191	-350	239	239	-438	291	291	-533	338	338	-620					
85	92,8	92,8	-170	121	121	-222	153	153	-281	194	194	-355	242	242	-444	295	295	-540	343	343	-629					
90	94,1	94,1	-173	123	123	-225	156	156	-285	196	196	-360	246	246	-450	299	299	-548	348	348	-638					
95	95,4	95,4	-175	124	124	-228	158	158	-289	199	199	-365	249	249	-456	303	303	-555	352	352	-646					
100	96,6	96,6	-177	126	126	-231	160	160	-293	202	202	-370	252	252	-462	307	307	-562	357	357	-655					
110	100	100	-184	131	131	-240	166	166	-304	209	209	-383	261	261	-479	318	318	-583	370	370	-679					
120	104	104	-190	135	135	-248	171	171	-314	217	217	-397	271	271	-496	329	329	-604	383	383	-703					
130	107	107	-197	140	140	-256	177	177	-325	224	224	-410	280	280	-513	340	340	-624	396	396	-726					
140	111	111	-203	144	144	-264	183	183	-335	231	231	-423	288	288	-529	351	351	-643	409	409	-749					
150	114	114	-209	148	148	-272	188	188	-345	237	237	-435	297	297	-544	361	361	-662	421	421	-771					

НАЗНАЧЕНИЕ ЭКВИВАЛЕНТНОЙ ВЫСОТЫ
(по п. 11.1.5. СП 20.13330.2011 «НАГРУЗКИ И ВОЗДЕЙСТВИЯ»
Актуализированная редакция)

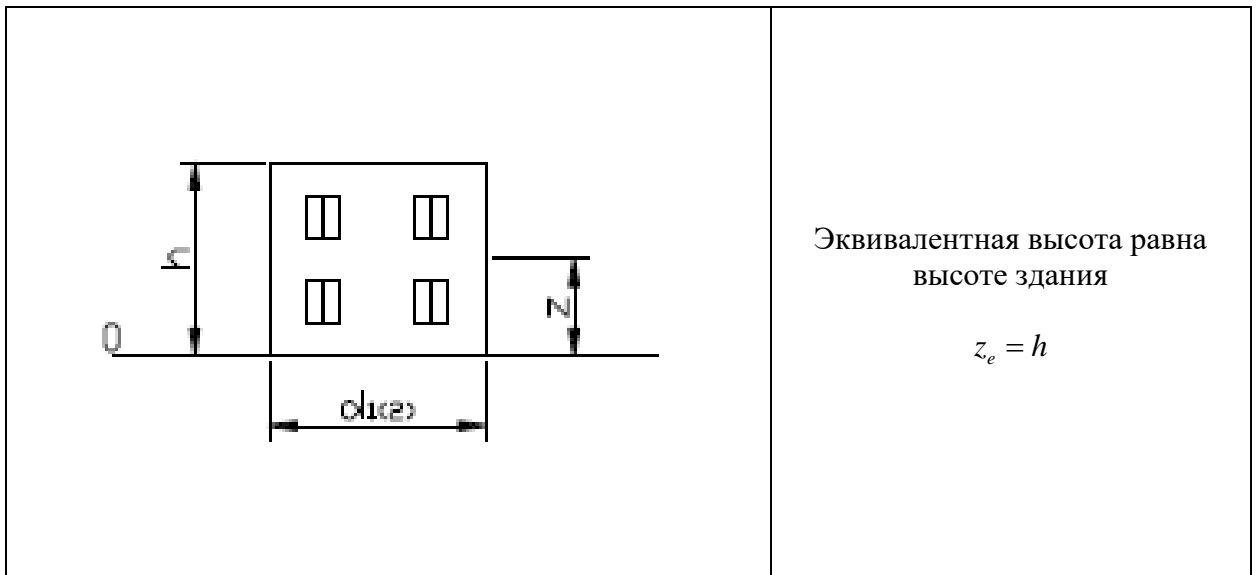
Эквивалентная высота z_e для прямоугольных в плане зданий определяется следующим образом:

- а) Для зданий, высота которых меньше или равна поперечному размеру



Где: h - высота здания;

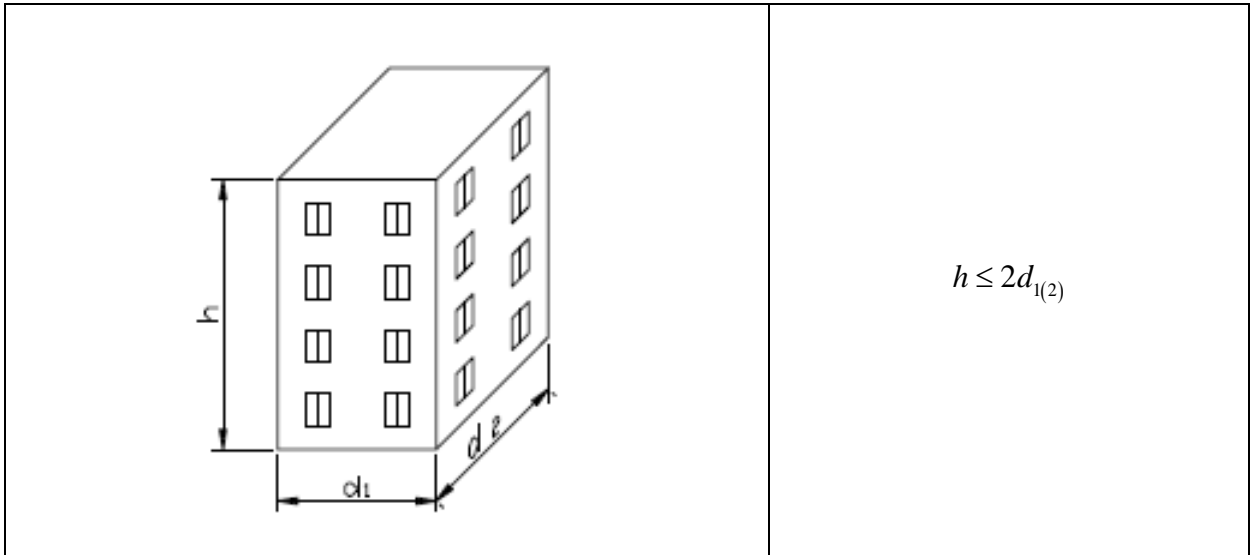
$d_{1(2)}$ - поперечные размеры здания;



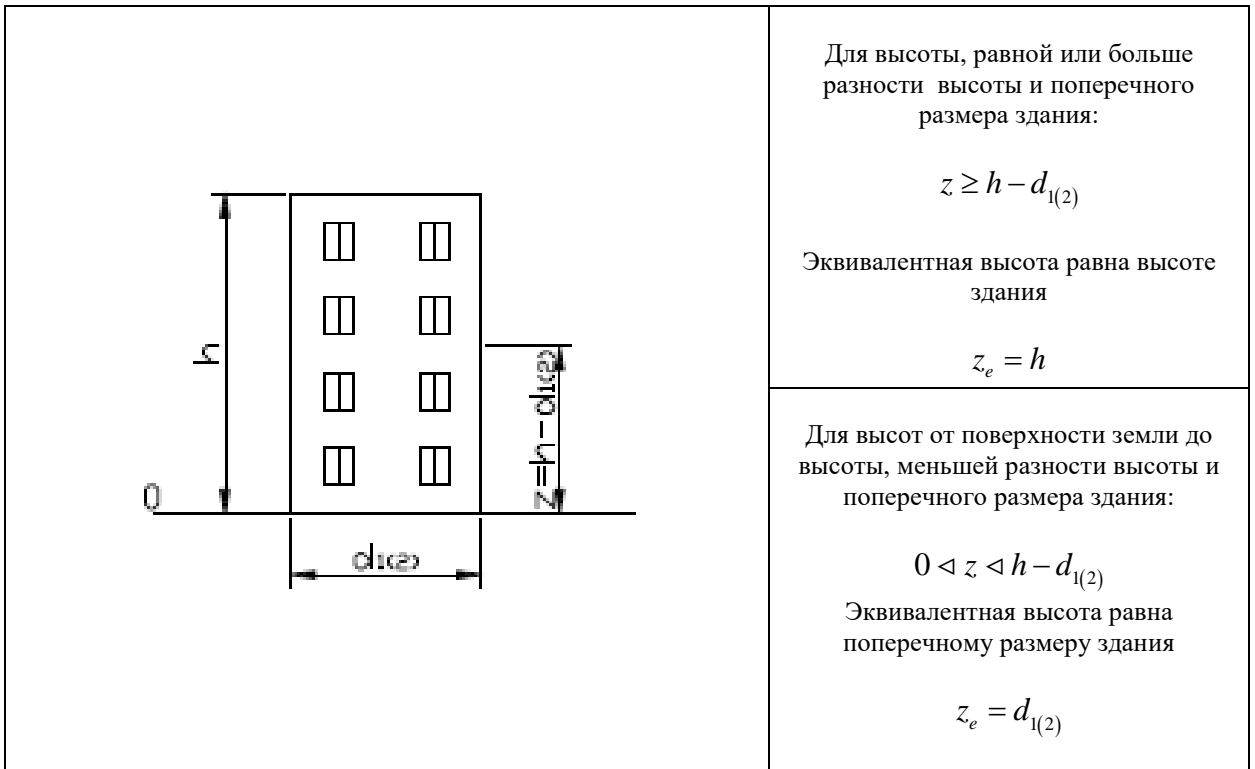
z - высота от поверхности земли;

z_e - эквивалентная высота.

- б) Для зданий, высота которых меньше или равна удвоенному значению поперечного размера



$$h \leq 2d_{1(2)}$$



Для высоты, равной или больше разности высоты и поперечного размера здания:

$$z \geq h - d_{1(2)}$$

Эквивалентная высота равна высоте здания

$$z_e = h$$

Для высот от поверхности земли до высоты, меньшей разности высоты и поперечного размера здания:

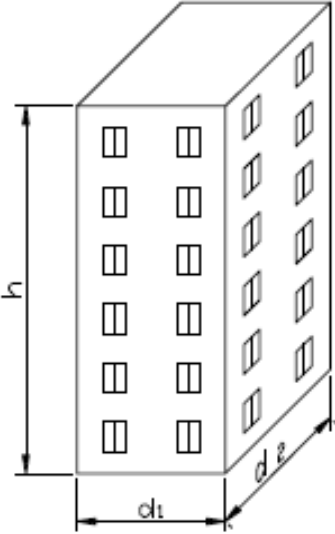
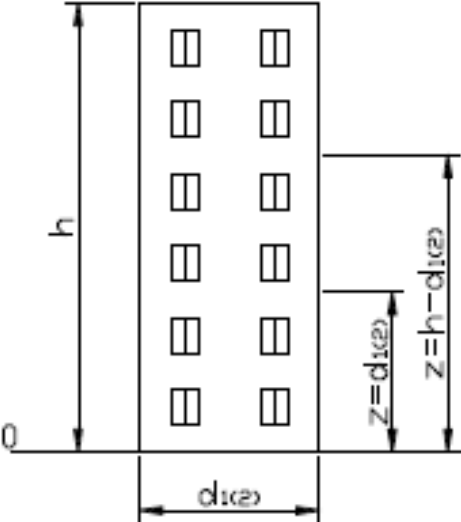
$$0 < z < h - d_{1(2)}$$

Эквивалентная высота равна поперечному размеру здания

$$z_e = d_{1(2)}$$

Примечание: для назначения эквивалентной высоты принимать наибольший поперечный размер здания (d_{\max}).

в) Для зданий, высота которых больше удвоенного значения поперечного размера

	$h > 2d_{1(2)}$
	<p>Для высоты, равной или больше разности высоты и поперечного размера здания:</p> $z \geq h - d_{1(2)}$ <p>Эквивалентная высота равна высоте здания:</p> $z_e = h$ <hr/> <p>Для высот, больших поперечного размера здания и меньших разности высоты и поперечного размера здания:</p> $d_{1(2)} < z < h - d_{1(2)}$ <p>Эквивалентная высота равна высоте от поверхности земли:</p> $z_e = z$ <hr/> <p>Для высот от поверхности земли до высоты, равной поперечному размеру здания:</p> $0 < z \leq d_{1(2)}$ <p>эквивалентная высота равна поперечному размеру здания</p> $z_e = d_{1(2)}$

НАЗНАЧЕНИЕ ТИПА МЕСТНОСТИ

(по п. 11.1.6. СП 20.13330.2011 «НАГРУЗКИ И ВОЗДЕЙСТВИЯ»
Актуализированная редакция)

Тип местности выбирается из трех возможных вариантов в зависимости от местоположения строительного объекта:

А – открытые побережья морей, озер и водохранилищ, сельские местности, в том числе с постройками высотой менее 10 м, пустыни, степи, лесостепи, тундра.

В – городские территории, лесные массивы и другие местности, равномерно покрытые препятствиями высотой более 10 м.

С – городские районы с плотной застройкой зданиями высотой более 25 м.

Сооружение считается расположенным в местности данного типа, если эта местность сохраняется с наветренной стороны сооружения на расстоянии $30h$ – при высоте сооружения h до 60 м и на расстоянии 2 км - при $h > 60$ м.

Примечание: Типы местности могут быть различными для разных расчетных направлений ветра.

Перечень документов

1. СП 20.13330.2011 Нагрузки и воздействия. Актуализированная редакция СНиП 2.01.07-85*.
2. Справочник проектировщика промышленных, жилых и общественных зданий и сооружений. Расчетно-теоретический. 1960г. Уманский А.А.
3. СТО 44416204-012-2013. «Элементы облицовочные навесных фасадных систем с воздушным зазором и детали их крепления. Метод определения несущей способности по результатам лабораторных испытаний», ФАУ ФЦС.